

**TRICHROMATICKÁ ŠPECIFIKÁCIA FARIEB POMOCOU  
POLARIZAČNÝCH FARIEB NÁ KREMENNEJ DOŠTIČKE  
MEDZI SKRÍŽENÝMI NIKOLAMI**

JOZEF GARAJ, Bratislava

**Úvod**

V práci [1] bola z farebného hľadiska vyzdvihnutá známa skutočnosť, že na kremennej doštičke brúsenej kolmo na optickú os a vloženej medzi skrižené nikoly vznikajú všetky možné farebné tóny, podľa skriženia nikolov. To je pozoruhodné najmä tým, že pri vhodnom skrižení nikolov možno získať na kremennej doštičke aj purpurové farby, ktoré sa inac v simečkom spektri nevyskytujú a dajú sa získať aditívnym miešaním modrej a červenej spektrálnej farby.

Dalej chcem ukázať, ako možno túto skutočnosť využiť na meranie farieb. Na to je nutné popri dôkladnej znalosti farieb na kremennej doštičke rozhodnúť sa pre vhodnú hrúbku kremennej doštičky a pre vhodný zdroj „bieleho“ svetla.

V poslednom období študovali podrobnejšie farby na kremennej doštičke aj viacerí zahraniční autori [2]. Súčasne sa ustáli pre ne názov „polarizačné farby“, ktorý tiež lepšie zodpovedá ich vzniku. V ďalšom preto nebudem používať pre ne označenie „interferenčné farby“ ako v citovanej práci [1], ale v súhlase so zaužívanou zvyklosťou budem ich tiež označovať ako „polarizačné farby“.

**Základné vzťahy**

Kubota a Ose našli tiež prvú analytické vyjadrenie geometrického miesta bodov zobrazujúcich vo farebnom trojuholníku CIE polarizačné farby. Ukázali, že platí

Trichromatické súradnice  $x'_p, y'_p, z'_p$  polarizačných farieb možno vypočítať zo vzťahov

$$\begin{aligned} x'_p &= \sum_{(i)} \bar{x}_i p_i J_i \Delta \lambda, & y'_p &= \sum_{(i)} \bar{y}_i p_i J_i \Delta \lambda, \\ z'_p &= \sum_{(i)} \bar{z}_i p_i J_i \Delta \lambda, \end{aligned} \quad (1)$$

v ktorých  $\bar{x}_i, \bar{y}_i, \bar{z}_i$  sú distributívne trichromatické koeficienty,  $p_i$  je spek-

trálna priepustnosť systému polarizátor — kremenná doštička — analyzátor a  $J_i$  je spektrálna intenzita použitého svetelného zdroja. Pritom platí

$$p_i = \cos^2(\alpha_i d \pm \varepsilon), \quad (2)$$

kde  $d$  je hrúbka kremennej doštičky,  $\varepsilon$  je skriženie polarizačných rovin a  $\alpha_i$  je špecifická otáčivosť kremena. Kladné známienko platí pre ľavotočivý a záporné pre pravotočivý kremen. Špecifickú otáčivosť kremena добре vyjadruje známy Lowry—Coode—Adamsov vzorec. Modul  $m_p$  polarizačných farieb je daný výrazom

$$m_p = x'_p + y'_p + z'_p \quad (3)$$

a ich trichromatické koeficienty sú

$$x_p = \frac{x'_p}{m_p}, \quad y_p = \frac{y'_p}{m_p}, \quad z_p = \frac{z'_p}{m_p}. \quad (4)$$

Trichromatické koeficienty udávajú — ako je známe — polohu bodov, ktoré vo farebnom trojuholníku systému CIE zobrazujú farby.

Podľa Kubotu a Oseho [2] možno vyjadriť trichromatické súradnice polarizačných farieb aj analyticky v pramej závislosti od  $\varepsilon$ . Platí

$$\left. \begin{aligned} x'_p &= X_0 + X_r \cos 2\varepsilon + X_i \sin 2\varepsilon \\ y'_p &= Y_0 + Y_r \cos 2\varepsilon + Y_i \sin 2\varepsilon \\ z'_p &= Z_0 + Z_r \cos 2\varepsilon + Z_i \sin 2\varepsilon \end{aligned} \right\} \quad (5)$$

kde

$$X_0 = \frac{1}{2} \sum \bar{x}_i J_i \Delta \lambda;$$

$$Y_0 = \frac{1}{2} \sum \bar{y}_i J_i \Delta \lambda;$$

$$Z_0 = \dots$$

$$X_r = \frac{1}{2} \sum \bar{x}_i J_i \cos(2\alpha_i d) \Delta \lambda;$$

$$Y_r = \frac{1}{2} \sum \bar{y}_i J_i \cos(2\alpha_i d) \Delta \lambda;$$

$$Z_r = \dots$$

$$X_i = \frac{1}{2} \sum \bar{x}_i J_i \sin(2\alpha_i d) \Delta \lambda;$$

$$Y_i = \frac{1}{2} \sum \bar{y}_i J_i \sin(2\alpha_i d) \Delta \lambda;$$

$$Z_i = \dots$$

Súčasne súradnice  $X_0, Y_0, Z_0$  sú súradnice farieb v farbnom trojuholníku CIE polarizačné farby. Súčasne súradnice  $X_r, Y_r, Z_r$  sú súradnice farieb v farbnom trojuholníku CIE polarizačné farby. Súčasne súradnice  $X_i, Y_i, Z_i$  sú súradnice farieb v farbnom trojuholníku CIE polarizačné farby. Súčasne súradnice  $X_0, Y_0, Z_0$  sú súradnice farieb v farbnom trojuholníku CIE polarizačné farby. Súčasne súradnice  $X_r, Y_r, Z_r$  sú súradnice farieb v farbnom trojuholníku CIE polarizačné farby. Súčasne súradnice  $X_i, Y_i, Z_i$  sú súradnice farieb v farbnom trojuholníku CIE polarizačné farby.

$$\left| \begin{array}{c} x_p X_r X_0 \\ y_p Y_r Y_0 \\ 1 S_i S_0 \end{array} \right|^2 + \left| \begin{array}{c} x_p X_i X_0 \\ y_p Y_i Y_0 \\ 1 S_i S_0 \end{array} \right|^2 + \left| \begin{array}{c} X_i X_r x_p \\ Y_i Y_r y_p \\ S_i S_r l_i \end{array} \right|^2 \quad (6)$$

kde

$$S_0 = X_0 + Y_0 + Z_0, \quad S_i = X_i + Y_i + Z_i,$$

v ktorých  $\bar{x}_i, \bar{y}_i, \bar{z}_i$  sú distributívne trichromatické koeficienty,  $p_i$  je spek-

## Teória merania farieb pomocou polarizačných farieb

Nech  $x'_1, x'_2, x'_3, \dots, x'_n; y'_1, y'_2, y'_3, \dots, y'_n; z'_1, z'_2, z'_3, \dots, z'_n$  sú trichromatické súradnice  $n$  farieb. Ich trichromatické koeficienty, ktorými sa tieto farby zobrazujú v trojuholníkovom diagrame farieb, sú  $x_1, x_2, x_3, \dots, x_n; y_1, y_2, y_3, \dots, y_n; z_1, z_2, z_3, \dots, z_n$ , pričom platí

$$x_i = \frac{x'_i}{x'_i + y'_i + z'_i}, \quad y_i = \frac{y'_i}{x'_i + y'_i + z'_i},$$

$$z_i = \frac{z'_i}{x'_i + y'_i + z'_i}.$$

$$x_i + y_i + z_i = 1,$$

$$x'_i + y'_i + z'_i = m_i$$

a výraz  

$$x'_i + y'_i + z'_i = m_i$$

je modul  $i$ -tej farby.

Z teórie farieb je známe, že aditívnym zmiešaním všetkých  $n$  farieb vznikne farba, ktoraj trichromatické koeficienty sú

$$x = \frac{\sum_{(i)} m_i x_i}{\sum_{(i)} m_i}, \quad y = \frac{\sum_{(i)} m_i y_i}{\sum_{(i)} m_i}, \quad z = \frac{\sum_{(i)} m_i z_i}{m_i}, \quad (7)$$

čo vyjadzuje tzv. fažiskovú konštrukciu farby získanej adičiou farieb o známych moduloch. Pritom vychádzame z toho, že modul adičiou získanej farby sa rovná súčtu modulov farieb skladaných.

Podľa (6) je krivka polarizačných farieb elipsa, vo vnútri ktorej leží bod zobrazujúci zdroj použitého bieleho svetla (napr.  $A$ ). Nech  $C_x$  je farba, ktorej špecifikácia je zatiaľ neznáma, t. j. neznáme sú jej trichromatické koeficienty  $x, y, z$  a jej modul  $m_x$ .

V obr. 1, kde  $K$  je krivka polarizačných farieb, nech je  $C_x$  obrazom uvažovanej farby. Je zrejmé, že v tomto prípade možno vhodnou adičiou farby  $C_x$  s bielym normálom  $A$  získať polarizačnú farbu  $C_p$ , ktorá odpovedá určitému skriveniu  $\varepsilon$  polarizačných rovin polarizátora a analyzátora. Nech  $m_a$  je modul bieleho svetla  $A$ , ktoré treba pridať k farbe  $C_x$  o module  $m_x$ , aby vznikla polarizačná farba  $C_p$  o module  $m_p$ . Podľa (7) potom platí

$$x_p = \frac{x m_x + x_A m_a}{m_x + m_a}, \quad y_p = \frac{y m_x + y_A m_a}{m_x + m_a}, \quad (8)$$

kde  $m_x + m_a = m_p$ ,  $x_p + y_p - 1 = z$ . a  $x_A, y_A$

sú trichromatické koeficienty bieleho svetla ( $A$ ).

Zo vzorcov (8) dostávame

$$x = \frac{m_p x_p - m_a x_A}{m_p - m_a}, \quad y = \frac{m_p y_p - m_a y_A}{m_p - m_a}. \quad (9)$$

V druhom možnom prípade, keď bod  $C_x$  leží vo vnútri krivky  $K$ , treba uvážiť, že farbu  $C_x$  možno získať adičiou vhodnej polarizačnej farby  $C_p$  a bieleho svetla  $A$ . Analogickou úvahou potom dostaneme

$$x = \frac{m_p x_p + m_a x_A}{m_p + m_a}, \quad y = \frac{m_p y_p + m_a y_A}{m_p + m_a}. \quad (9a)$$

Zo známych hodnôt  $x, y$  nájdeme konečne aj trichromatické súradnice meranej farby pomocou vzťahov

$$x' = x(m_p \mp m_a), \quad y' = y(m_p \mp m_a), \quad (10)$$

pričom záporné známienko platí pre farby, ktoré sú sýtejšie ako polarizačné farby a kladné v opačnom prípade.

Nech  $s$  je „množstvo“ primiesaného bieleho svetla  $A$  vyjadrené v percentách jasnosti zdroja  $A$ . Potom je

$$m_a = s m_A.$$

Okrem toho platí

$$m_p x_p = x', \quad m_p y_p = y', \quad m_A x_A = x'_A. \quad (12)$$

Vzhľadom na (11) a (12) prepíšeme rovnice (9), resp. (10) do tvaru

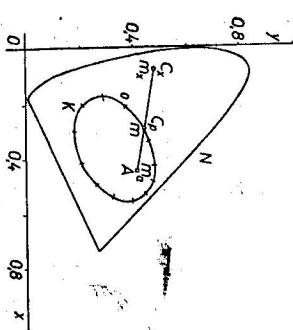
$$x = \frac{x'_p \mp s x'_A}{m_p \mp s m_A}, \quad y = \frac{y'_p \mp s y'_A}{m_p \mp s m_A}, \quad (13)$$

$$m_p = m_p \mp s m_A.$$

O známienkach tu platí to isté, čo bolo povedané vyššie.

Úhrnom teda, ak dokážeme experimentálne stanoviť uhol  $\varepsilon$  prisluhajúci farbe  $C_p$ , ktorá s farbou  $C_x$  má rovnaký farebný tón a ak dokážeme stanoviť experimentálne aj hodnotu  $s$ , potom možno pomocou polarizačných farieb merat farby.

Výšetrime ďalej teoreticky otázku obrátenú: nájsť pre známu trichromatickú špecifikáciu farby jej príslušné farebné charakteristiky  $\varepsilon, s$ . Túto úlohu možno riešiť exaktne. Pomocou rovnice (6), ktorú pre polarizačné farby odvodili Kubota a Ose.



Prepredkladajme teda, že trichromatické koeficienty  $x, y$  farby  $C_x$  sú známe.

Potom nájdeme trichromatické koeficienty  $x_p, y_p$  polarizačnej farby  $C_p$

rovnakého farebného tónu s farbou  $C_x$  ako spoločné riešenie rovnic

$$\eta - y_A = \frac{y - y_A}{x - x_A} (\xi - x) \quad (14)$$

a rovnice (6), napísanej vo všeobecnom tvare

$$a_{11}\xi^2 + a_{22}\eta^2 + 2a_{12}\xi\eta + 2a_{13}\xi + 2a_{23}\eta + a_{33} = 0. \quad (15)$$

Zo známych hodnôt  $x_p, y_p$  dostaneme hľadaný uhol napr. z rovnice

$$x_p = \frac{x'_p}{m_p} = \frac{X_0 + X_r \cos 2\varepsilon + X_i \sin 2\varepsilon}{S_0 + S_r \cos 2\varepsilon + S_i \sin 2\varepsilon}. \quad (16)$$

Z nej po úprave dostaneme

$$\sin 2\varepsilon = \frac{-A_r A_0 \pm \sqrt{A_r^2 - A_0^2 + A_i^2}}{A_i^2 + A_r^2}, \quad (17)$$

kde

$$A_0 = (x_p S_0 - X_0), \quad A_r = (x_p S_r - X_r), \quad A_i = (x_p S_i - X_i).$$

Oznámenku v (17) rozložíme z obrazu 1.

Hodnoty  $x'_p, y'_p$  sa potom nájdú priamo zo vzťahov Kubotu a Oseho.

Pre modul  $m_p$  dostávame

$$m_p = S_0 + S_r \cos 2\varepsilon + S_i \sin 2\varepsilon. \quad (18)$$

Pre farebnú charakteristiku  $s$  dostaneme z rovníc (13)

$$s = \frac{Rx'_p - y'_p}{Rx'_4 - y'_4},$$

kde

$$R = \frac{y}{x}.$$

Vzorecami (17), (18) je úplne riešená úloha nájsť početne farebné charakteristiky  $\varepsilon, s$  zo známych trichromatických súradníci farby.

Vzhľadom na to, že hodnoty všetkých konštant, ktoré vystupujú vo vzťahu (17), (18) a podobne pri výpočte trichromatických koeficientov  $x_p, y_p$  sa pre danú kremennú doštičku raz na vždy predom vypočítajú, je celkový analytický výpočet charakteristik  $\varepsilon, s$  z daných trichromatických súradníci  $x', y'$  len zdánivo zložitý.

V zásade možno však postupovať jednoduchšie graficky hlavne v prípadoch, ktoré by nevyžadovali zvláštnu presnosť.

V takom prípade možno zostrojiť krivku  $K$  z niekoľkých bodov pre rôzne uhly  $\varepsilon$  stúpajúce napr. vždy po desiatich stupňoch. K výpočtu sa použijú vzorce (1) až (4). Graficky sa nájdete tiež závislosť súradníc  $x'_p, y'_p$  a modulu  $m_p$  od uhla  $\varepsilon$ . Ďalší postup je zrejmý.

#### Niekteré údaje pre použití kremennú doštičku

V práci [1] bola pre získanie polarizačných farieb použitá kremenná doštička o hrúbke 3,39 mm. Tamto je výsledky ukazujú, že získané polarizačné farby sú pomerne málo sýte. Dá sa však očakávať, že presnosť merania stúpne so sýtosťou polarizačných farieb, pretože farebné tóny sýtejších farieb možno ľahšie rozlíšiť. Vo viacerých pojednaniah [2], [3] sa k tomu ukazuje, že sýtosť polarizačných farieb je optimálna asi pri 5 mm hrúbke doštičky. Z tohto dôvodu bol vykonaný výpočet polarizačnej farby na kremennej doštičke o hrúbke  $d = 5,04$  mm.

Spektrálna otáčivosť tejto doštičky vypočítaná z Lowry – Coode – Adamsovho vzorca je uvedená v tab. 1. Z nej boli ďalej vypočítané krivky priepustnosti (obr. 2), trichromatické súradnice a koeficienty polarizačných farieb pre skriňenie nikolov stúpajúce vždy po desiatich stupňoch.

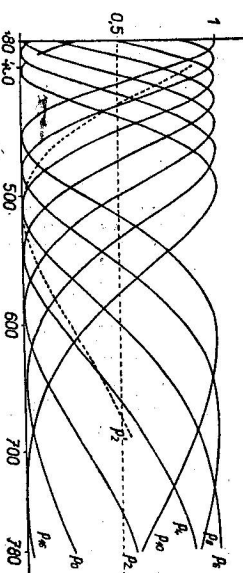
Tabuľka 1.  
Spektrálna otáčivosť kremennej doštičky o hrúbke  $d = 5,04$  mm

$\lambda$ ( $\mu$ )	$\alpha_x d$	$\lambda$ ( $\mu$ )	$\alpha_x d$
0,37	301,594	0,59	109,217
0,38	283,954	0,60	105,406
0,39	267,876	0,61	101,788
0,40	253,134	0,62	98,356
0,41	239,652	0,63	94,601
0,42	227,178	0,64	91,98
0,43	215,712	0,65	89,032
0,44	204,678	0,66	86,179
0,45	195,255	0,67	83,462
0,46	185,678	0,68	80,993
0,47	177,645	0,69	78,553
0,48	169,732	0,70	76,22
0,49	163,348	0,71	73,987
0,50	155,434	0,72	71,87
0,51	148,857	0,73	69,80
0,52	142,884	0,74	67,84
0,53	137,189	0,75	65,94
0,54	131,811	0,76	64,159
0,55	126,756	0,77	62,385
0,56	122,018	0,78	60,78
0,57	117,482	0,79	58,75
0,58	113,249	0,80	57,657

V tab. 2 sú uvedené hodnoty  $x'_p, y'_p, z'_p$ , resp.  $x_p, y_p, z_p$  pre zdroj A a ich závislosť od uhlu je znázornená na obr. 3.

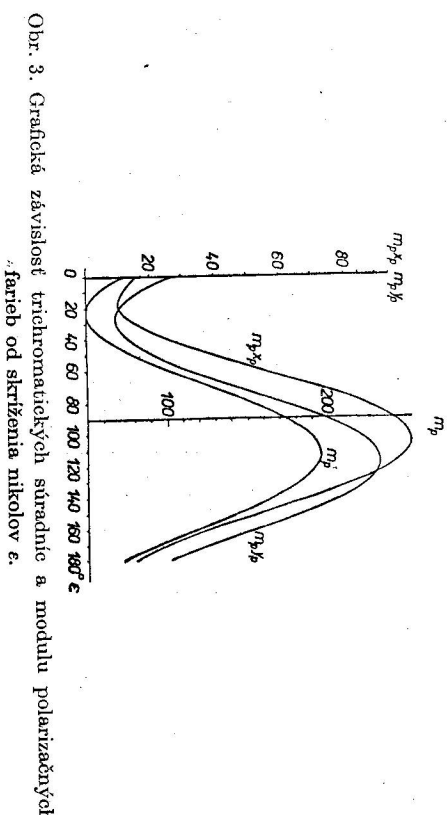
Tabuľka 2  
Trichromatické súradnice a trichromatické koeficienty polarizačných farieb  
pre rôzne skriženie nikolov

$e$	$x'$	$y'$	$z'$	$x$	$y$	$z$
0	15,90573	26,70342	31,57379	0,21382	0,36175	0,42443
1	10,21022	16,71615	31,05849	0,17608	0,28928	0,53564
2	10,00260	10,58594	29,68124	0,19944	0,21033	0,58973
3	15,32363	3,20912	25,97372	0,30342	0,13227	0,51431
4	25,31365	12,72949	23,00479	0,45253	0,20631	0,37646
5	38,93267	20,78455	18,50397	0,49805	0,26554	0,23641
6	54,3,318	32,20180	13,83067	0,54126	0,32091	0,3783
7	70,92503	46,00610	9,76237	0,55682	0,36631	0,07757
8	83,74430	60,19174	6,56169	0,55648	0,39992	0,04360
9	93,99730	72,79818	4,75612	0,54696	0,42336	0,02768
10	99,63273	83,29434	4,52390	0,53151	0,44335	0,02414
11	99,76714	89,42504	5,88950	0,51138	0,45334	0,03025
12	94,90116	91,04054	8,66751	0,48765	0,46780	0,04455
13	84,14020	87,26274	12,25810	0,45892	0,47443	0,06665
14	70,82673	79,23625	16,90417	0,42429	0,47556	0,0124
15	55,49315	67,79386	21,77847	0,32253	0,46734	0,15013
16	39,92224	53,19054	24,89442	0,38830	0,45674	0,21096
17	26,28892	39,79857	29,02041	0,27641	0,41846	0,30513
18	15,90573	26,70342	31,57379	0,21382	0,36175	0,42443

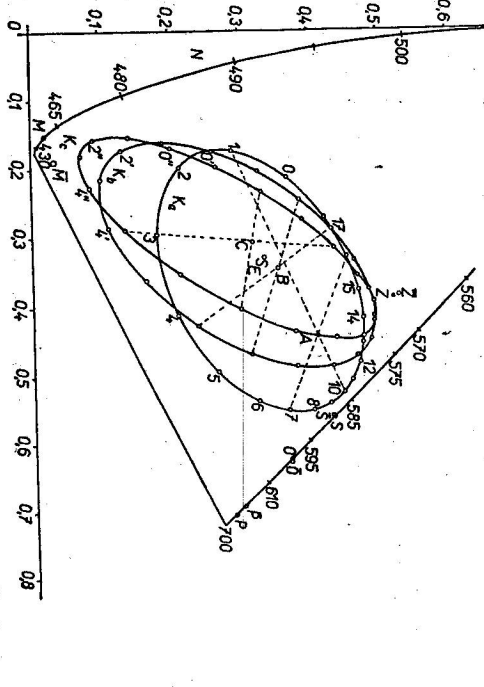


Obr. 2. Krivky priepustnosti. Krivka p platí pre kremennú dosťiku o hrúbke 3,39 mm.

Z vypočítaných hodnôt (tab. 2) bola zostrojená tiež krivka  $K_a$  polarizačných farieb v trojuholníkovom diagrame farieb (obr. 4). V tom istom diagrame sú zakreslené aj krivky  $K_b$ ,  $K_c$  polarizačných farieb tej istej kremennej dosťiky prislúchajúce zdrojom B a C. Z porovania všetkých týchto kriviek vidieť, že pre ďalšie experimentálne práce z hľadiska farebného by boli aši rovako výhodné zdroje A, B, pričom výhodnejší by ešte mohol byť zdroj B. Avšak jednoduchá realizácia zdroja A svedčí nakoniec pre používanie tohto zdroja. Zdroj A bol preto použitý vo všetkých ďalších pracach.



Obr. 3. Grafická závislosť trichromatických súradnic a modulu polarizačných farieb od skriženia nikolov e.



Obr. 4. Polarizačné farby v trojuholníkovom diagrame farieb. Farby P, O, ... sú teoretické a F, O-bar, ... sú namerané.

Pre koeficienty  $a_{ik}$  dostávame z rovnice (6) vzťahy

$$a_{11} = A^2 + D^2 - G^2,$$

$$a_{12} = AB + DE - GH,$$

$$a_{22} = B^2 + E^2 - H^2,$$

$$a_{13} = AC + DF - GL,$$

kde

$$A = Y_s S_0 - Y_o S_r,$$

$$B = S_r X_0 - X_s S_0,$$

$$C = X_s Y_0 - Y_s X_0,$$

$$D = Y_s S_0 - Y_o S_r,$$

Tabuľka 3

Hodnoty koeficientov  $X_l, Y_l, Z_l$  ( $l = o, i, r$ )  
pre svetelné normály  $A, B, C$

	$A$	$B$	$C$
$X_0$	54,9236	49,5457	49,0350
$Y_0$	50,0000	50,0000	50,0000
$Z_0$	17,7912	42,6547	59,1108
$X_i$	-23,1606	-19,6555	-16,8064
$Y_i$	-33,7906	-36,6132	-36,9693
$Z_i$	2,9784	12,4060	19,5911
$X_r$	-39,1656	-26,8082	-21,6704
$Y_r$	-23,1666	-16,7504	-18,527
$Z_r$	+13,0351	30,6305	41,8438

$$\begin{aligned} E &= S_i X_0 - X_i S_0, & H &= S_i X_i - X_i S_i, \\ F &= X_i Y_0 - Y_i X_0, & L &= X_i Y_i - Y_i X_i. \\ G &= Y_i S_i - X_i S_i, \end{aligned}$$

Z uvedených vzorcov vyplýva,

$$\begin{aligned} a_{11} &= 2,06480, & 2a_{13} &= -0,84888, \\ a_{22} &= 3,47970, & 2a_{23} &= -1,52629, \\ a_{12} &= -2,03421, & a_{33} &= 0,33946. \end{aligned}$$

Pre úplnosť uvedme ešte trichromatické súradnice normálnych bielych zdrojov.

$$\begin{aligned} x'_A &= 109,8472, & y'_A &= 100,0000, & z'_A &= 35,5824, \\ x'_B &= 99,0930, & y'_B &= 100,0000, & z'_B &= 85,3125, \\ x'_C &= 98,0705, & y'_C &= 100,0000, & z'_C &= 118,2246. \end{aligned}$$

**Experimentálne zariadenie pre meranie farieb pomocou polarizačných farieb**  
Podstatné časti experimentálneho zariadenia, ktoré je schematicky znázornené na obr. 5, tvorí časť  $P$  s nikolami  $N_1, N_2$  a kremennou doštičkou  $D$  a Pulfrichov fotometer (PF), v ktorého zornom poli (ZP) sa vykonáva vizuálne porovnávanie farieb.

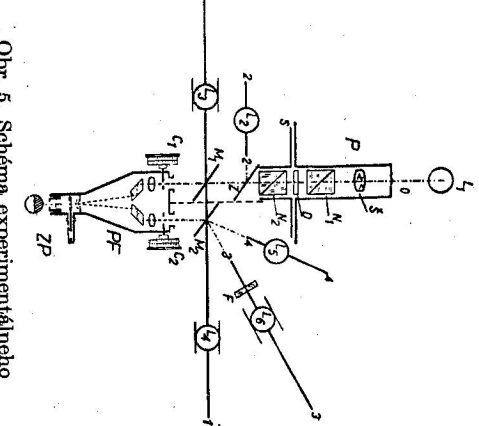
Otvorom o vniká do  $P$  svetlo z normálneho bieleho zdroja  $L_1$ . Systémom  $\delta$  sa paralelizuje a prechádza ďalej do sústavy polarizátora ( $N_1$ ) – kremennej doštičky ( $D$ ) – analyzátora ( $N_2$ ). Otočenie polarizačnej roviny analyzátora oproti polarizačnej rovine polarizátora se kontroluje na stupnici  $s$  v zásade rovnakým spôsobom ako u polarimetrov. V ose časti  $P$  je ďalej umiestnené zrkadlo  $Z$ , matrica  $M_1$  a jeden vstupný otvor fotometra s nastavovacou

clonkou  $C_1$ . Zrkadlo  $Z$  možno prípadne z osi prístroja vysunúť tak, aby svetlo vychádzajúce z  $N_2$  mohlo priamo dopadnúť na  $M_1$ . Pri zasunutom zrkadle  $Z$  dopadá na  $M_1$  svetlo jedine zo zdroja  $L_2$ . Matrica  $M_1$  môže byt okrem toho osvetlená zdrojom  $L_3$ . Pred druhým otvodom fotometra s nastavovateľnou clonkou  $C_2$  je matrica  $M_2$ , ktorá môže byt osvetľovaná zdrojmi  $L_4, L_5, L_6$ .

Osvetlenie matíc  $M_1, M_2$  od každého zdroja možno meniť plynule clonkami  $C$  (pozri schému osvetľovacích zdrojov, obr. 6), alebo jemne tiež posunovaním zdrojov po dráhach vyznačených na obr. 5. Zdroj  $L_1$  nemá matricu  $M$  (obr. 6), pretože jeho zariadenie poskytuje jedine ostrý obraz žeravého vlákna žiarovky na vstupnom otvore  $o$ .

Na matici  $M_1$  možno aditívne miešať polarizačné farby s farbou bieleho svetleneho normálu  $L_3$  a výslednú farbu pozorovať v jednej polovici zorného pola Pulfrichovho fotometra.

Na matici  $M_1$  možno aditívne miešať polarizačné farby s farbou bieleho svetleneho normálu  $L_3$  a výslednú farbu pozorovať v jednej polovici zorného pola Pulfrichovho fotometra.



(pri úplne otvorené clone  $C_1$ ) sa farebné tóny obidvoch pozorovaných farieb lišia čo najmenej.

Úplné výrovnanie farieb v zornom poli sa dosiaľne primiešaním svetla  $L_3$  ku polarizačnej farbe alebo svetla  $L_4$  ku farbe filtra. To závisí od toho, či je súťasťa polarizačná farba alebo farba filtra.

Ak nechame na matiacu  $M_2$  dopadat jedine primiešané svetlo  $L_4$ , spôsobuje v jednej polovici zorného pola fotometra určité osvetlenie. Veľkosť tohto osvetlenia určíme jeho porovnaním s osvetlením druhej polovice zorného pola, spôsobené svetlom  $L_2$ . Výrovnanie jasnosti v celom zornom poli fotometra sa pritom dosiahne clonkou  $C_1$ . Údaj z tejto clonky určuje priamo „mužstvo“ primiešaného svetla v percentách svetla  $L_1$  a je práve tou hodnotou, ktorá vystupuje v rovnici

$$m_a = sm_4.$$

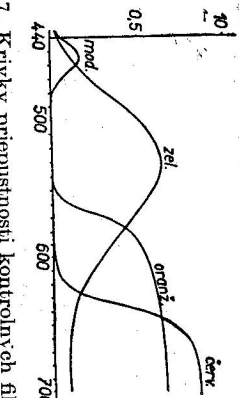
Analogicky sa postupuje aj pri meraní primiešaného svetla  $L_5$ , pričom hodnota  $s$  sa určuje pomocou normálmu  $L_5$ .

Uhol  $\epsilon$  udávajúci skriženie polarizačnej roviny nikola  $N_2$  oproti polarizačnej rovine nikola  $N_1$  a uvedeným spôsobom nameraná hodnota  $s$  dávajú pre farbu nutné experimentálne údaje, z ktorých už možno určiť jej trichromatickú špecifikáciu, t. j. jej trichromatické súradnice a trichromatické koeficienty.

#### Experimentálne overenie metódy

Experimentálne overenie opísanej metódy trichromatickej špecifikácie farieb bolo vykonané na štyroch filtroch, červenom, oranžovom, zelenom a modrom a na sodikovej spektrálnej lampe.

Za tým účelom bola najprv premerana spektrálna priepustnosť vybraných filtrov (tab. 4, obr. 7). Farba sodikovej spektrálnej lampy bola pritom



Z takto získaných hodnôt boli vypočítané trichromatické koeficienty  $x$ ,  $y$  a  $z$  kontrolných farieb, ktoré sú uvedené v tab. 5.

Tabuľka 5  
Trichromatické koeficienty kontrolných farieb vypočítané z ich kriviek priepustnosti

Farba	$x$	$y$	$z$
Červený filter	0,7135	0,2864	0,0001
Oranžový filter	0,6313	0,3876	0,0011
Na-L	0,5692	0,4301	0,0007
Zelený filter	0,3936	0,5218	0,0846
Modrý filter	0,1491	0,0202	0,8248

považovaná za monochromatickú o vlnovej dĺžke rovné aritmetickému priemeru vlnových dĺžok obidvoch sodikových spektrálnych čiar, 5890 Å.

Tabuľka 4  
Spektrálna priepustnosť kontrolných filtrov

Znalosť týchto koeficientov je predpokladom pre výpočet farebných charakteristik  $\varepsilon$ ,  $s$  kontrolných farieb vzájomne na polarizačné farby. Výpočtom získané hodnoty  $\varepsilon$ ,  $s$  sú uvedené v tab. 6 hned popri ich hodnotách získaných experimentálne.

Tabułka 6

Farba	teoretické		experimentálne	
	$\varepsilon$	$\delta$	$\varepsilon$	$\delta$
Červený filter	68°8,	29,294	68°24,	27,825
Oranžový filter	75°0,	22,415	74°75,	22,405
Na-L	91°34,	7,5	90°20,	7,6
Zelený filter	141°55,	28,354	141°37,	28,93
Modrý filter	27°32,	8,269	29°27,	8,125

Pre názornosť je v tab. 7 uvedené jedno podrobnejšie meranie pre zelený filter. Pri meraní kontrolnej farby sa postupovalo tak, že táto farba bola najprv čo najdokonalejšie vyrovnaná s niektorou jej odpovedajúcou polarizačnou farbou. V ďalšom priebehu merania bola jasnosť zdroja  $L_4$  uz trvale ponechaná a menili sa len hodnoty  $\varepsilon$  a jasnosť zdroja  $L_6$ . Na konci merania bol zdroj  $L_4$  niekolkokrát premeraný (štvrty stĺpec tab. 7).

## Tabuľka 7

Meranie zeleného filtra

$\varepsilon$	$\Delta\varepsilon$	$(\Delta\varepsilon)^2$	$s$	$\Delta s$	$(\Delta s)^2$
142,00	- 0,344	0,1183	28,5	0,43	0,1849
142,20	- 0,544	0,2959	29,00	- 0,07	0,049
143,20	- 1,544	2,3839	28,60	0,33	0,1089
140,00	1,656	2,7423	29,5	- 0,57	0,4338
142,75	- 1,094	1,1968	29,2	- 0,27	0,0729
141,50	0,156	0,0243	29,0	- 0,07	0,0049
143,10	- 1,444 <sup>...</sup>	2,0851	30,0	- 1,07	1,1449
138,50	3,156	9,9603	27,7	1,23	1,5129
1133,25		18,8069	231,5		3,4681
$\bar{\varepsilon} = 141,656^\circ$					$\bar{s} = 28,93$

Z hodnôt  $\varepsilon$ ,  $s$ , ktoré boli teoreticky a aj experimentálne zistené, boli ko- nečne vypočítané trichromatické charakteristiky kontrolných filterov. Získané výsledky sú uvedené v tab. 8, 9, 10, v ktorých popri hodnotách  $x$ ,  $y$ ,  $x'$ ,  $y'$

Tabulka

Farba	teoretické		experimentálne	
	$x'$	$y'$	$x'$	$y'$
Červený filter	35,008	56	14,052	40
Oranžový filter	52,629	59	30,645	71
Na-L	89,657	83	67,249	05
Zelený filter	36,900	99	48,920	06
Modrý filter	4,474	97	0,785	447
			5,954	6
			5,954	6

Moduly kontrolnych faktor

Farba	$m - \text{teoretický}$	$m - \text{experimentálny}$
Červený filter	49,065 96	53,51
Oranžový filter	83,367 01	82,312
Na-L	156,461 41	153,548
Zelený filter	93,752 52	89,498
Modrý filter	30,013 26	31,309

a  $m$ , získaných z teoretických hodnôt  $\varepsilon$ ,  $s$ , sú uvedené hneď hodnoty týchto veličín získaných z experimentálnych hodnôt  $\varepsilon$ ,  $s$ .

bná chyba výsledku:

Pravdepodobná chyba výsledku

Ako z uvedených výsledkov vidieť, zhoda teoretických a experimentálnych hodnôt charakteristik je dobrá. Merané aj teoretičky vypočítané farby sú vyznačené v trojuholníkovom diagrame farieb. Aj odtiaľ vidieť, že najväčšia differencia namenaných hodnot oproti teoretickým je v blízkosti koncov

061

spektra, t. j. v oblasti najhoršej citlivosti ľudského oka na farby. V tejto oblasti sú aj jasnosti polarizačných farieb najnižšie, ako ukazuje aj obr. 8. Citlivosť tejto metódy merania farieb je napriek tomu pomerne dobrá, čo potvrdzuje aj porovnanie hodnôt stredných chýb jednotlivých meraní a pravdepodobných chýb výsledkov pri nastavovaní uhlia  $\varepsilon$  (v ktorom je zahrnutá aj chyba v nastavovaní jasnosti zdroja  $L_6$ , ako bolo hore uvedené), s tými istými chybami pri monochromatickej fotometrii Pulfrichovým fotometrom.

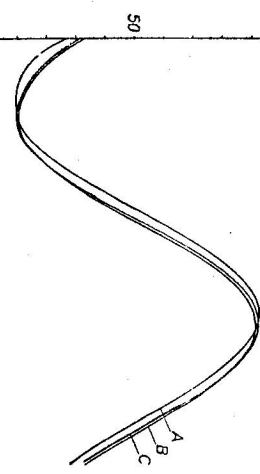
V obidvoch prípadoch sú chyby rádovo rovnaké, takže meracie touto metodou je principiálne asi rovnako presné ako monochromatická fotometria. Pulfrichovým fotometrom.

#### LITERATÚRA

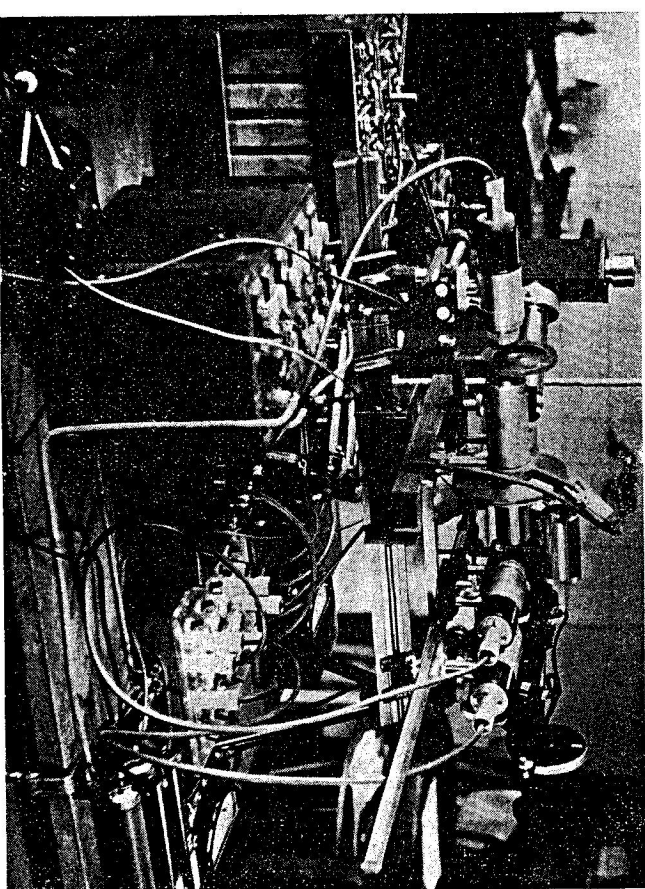
- [1] Garaj J., Štúdium interferenčných farieb vznikajúcich rotačnou disperzou v kremnej doštičke medzi polarizátorom a analyzátorom, Mat.-fyz. sborník SAV I (1951), 68—99.
- [2] Kubota H., Ose T., Further Study of Polarisation and Interference Colours, J. Opt. Soc. Am. 45 (1955), 89—97.
- [3] Müller, Pouillet, Lehrbuch der Physik II, Optik.
- [4] Wright W. D., The measurement of Colours, London 1946.
- [5] Gurevich M. M., Čvet a jeho meranie, Moskva—Leningrad 1950.

Došlo 6. 10. 1959.

Katedra fyziky Slovenskej vysokej školy technickej v Bratislave



Obr. 8. Priebeh jasnosti polarizačných farieb pre normály A, B, C.



Obr. 9. Celkový pohľad na experimentálne zariadenie.

### ТРИХРОМАТИЧЕСКАЯ СПЕЦИФИКАЦИЯ ЦВЕТОВ ПРИ ПОМОЩИ ПОЛАРИЗАЦИОННЫХ ЦВЕТОВ НА КРЕМНЕВОЙ ПЛАСТИНКЕ МЕЖДУ СКРЕПЕННЫМИ НИКОЛАМИ

ЙОЗЕФ ГАРАЙ

Бывбди

В основу измерения цветов были взяты поляризационные цвета, возникающие на кремневой пластинке, оптически перпендикулярно на оптическую ось и находящейся между скрепками никелами. Для аналитического выражения координат поляризационных цветов в цветном треугольнике СЛР (рис. 1) в зависимости от скрепленных никелов были взяты отношения Кубота—Осе [2].

Примененный метод измерения цветов основан на том, что к измеренному цвету  $C_x$  (рис. 1) о модуле  $m_x$ , аддитивно прибавляется цвет белой нормали (A), с таким модулем  $m_A$ , чтобы и готовый цвет отвечал определенному поляризационному цвету  $C_p$ . Равнство итогового цвета с соответствующим поляризационным цветом было проверено субъективно при помощи фотометра пульфриха.

Из количества  $s$  прибавленного белого цвета и также из известных трихроматических координат  $x'_p$ ,  $y'_p$  и модулей  $m_p$ ,  $m_A = sm_A$  найдут трихроматическую спецификацию цвета  $C_x$ . Для трихроматических коэффициентов  $x$ ,  $y$  этого цвета были выведены соотношения:

$$x = \frac{x'_p \mp sm'_A}{m_p \mp sm_A}, \quad y = \frac{y'_p \mp sy'_A}{m_p \mp sm_A}$$

и следует

$$m_x = m_p \mp sm_A.$$

Отрицательный знак принадлежит таким цветам  $C_x$ , которые являются более синими чем поляризационные цветы; положительный знак действует в обратном случае. Были

дедулированы формулы также для расчета величин  $s$  и  $s$  [(17), (18)] на основе известного трихроматического специфического цвета.

Приведенный метод измерения цветов был экспериментально проверен на аппарате, схема которой приведена на рисунке 5. В качестве источников света  $L_1, L_2, \dots, L_6$  были применены цветовые нормалы А. Аддитивное смешание цветов приобреталось на матных пластинах  $M_1, M_2$ . Источник  $L_4$  для рассеяния измеряемых цветов. Источники  $L_2, L_3$  служат вместе с фотометром Пульфриха для измерения использованных количеств  $L_3, L_4$ .

Были проверены цвета четырех фильтров, краевые которых изображены на рис. 7 и цвет спектральной натриевой лампы. Полученные результаты были сравнены с теми, которые мы получили путем спектрально-фотометрическим и путем расчета. Согласование, обнаруженное между этими измерениями весьма хорошее. Самые большие отклонения можно наблюдать в области синих цветов.

## TRICHROMATIC SPECIFICATION OF COLOURS BY MEANS OF POLARIZATION COLOURS ON THE QUARTZ PLATE BETWEEN CROSSED NICOLS

JOZEF GARAJ

### Summary

Polarization colours which occur on the quartz plate cut vertically to the optical axis and placed between crossed nicols were taken for the basis of the measurement of colours. The Kubota—Ose relations (2) were used for analytic expression of coordinates of polarization colours in the chromacity diagram CIE (fig. 1) as the function of crossing the nicols.

The described method of the measurement of colours is based on the principle that to the measured colour  $C_x$  (fig. 1) with modul  $m_x$  is additionally mixed the colour of white normal ( $A$ ) with such a modul  $m_A$  so that the resulting colour should correspond to a certain polarization colour  $C_p$  with modul  $m_p$ , which is situated on the line connecting the colours  $C_x$  and  $A$ . The conformity of the resulting colour with the corresponding polarization colour was subjectively controlled by Pulfrich photometer.

The trichromatic specification of colour  $C_x$  is found out from  $s$  — quantity of the white colour added, from the known trichromatic coordinates  $x_p, x_A$  and moduls  $m_p, m_A = sm_A$ . For the trichromatic coefficients  $x, y$  of this colour following equations were derived:

$$x = \frac{x_p' \mp sx'}{m_p \mp sm_A} \quad y = \frac{y_p' \mp syA}{m_p \mp sm_A}$$

and it is

$$m_x = m_p \mp sm_A$$

Negative sign relates to those colours  $C_x$  which are purer than the polarization colours, the positive sign relates to the opposit case. The formulae for calculation of the crossing of nicols and of the value  $s$  [(17), (18)] were also established; they were derived from the given trichromatic specification of colour.

The described method of measurement of colours was experimentally proved on the apparatus schematically given in figure 5. As the illuminators  $L_1, L_2, \dots, L_6$  the colour normals  $A$  were used. The additional mixing of colours was performed on the opaque glass  $M_1, M_2$ . The illuminator  $L_3$  was used to change the purity of the polarization colours and  $L_4$  to change the purity of the colours measured. The illuminators  $L_2, L_5$  serve, together with the Pulfrich photometer, to measure the applied quantities  $L_3, L_4$ .

The colours of four filters were measured, their curves are given in figure 7, and so was the colour of spectral sodium lamp. The results obtained were compared to those found in spectrophotometric way and by calculation. The conformity which was found between these two measurements is very satisfactory. The greatest divergences are in the sphere of blue colours.